

УДК 621.77.014

Титов В. А.  
Гараненко Т. Р.**ОСОБЕННОСТИ ПОСТРОЕНИЯ ВЯЗКОПЛАСТИЧЕСКИХ МОДЕЛЕЙ  
МЕТАЛЛОВ ПРИ ИСПЫТАНИЯХ НА ИЗГИБ. СООБЩЕНИЕ 2**

В работе авторов [1] рассмотрен метод экспериментально-аналитического построения кривых деформирования для моделирования малопластичных материалов при испытаниях на изгиб. Метод позволяет эффективно моделировать деформационные свойства материалов в рамках модели упругопластической упрочняемой сплошной среды. В этих моделях сопротивление деформированию ( $\sigma$ ) материала является функцией степени деформации ( $e$ ).

При формообразовании деталей в условиях горячей пластической деформации сопротивление деформированию металлов зависит так же от фактора времени. В этом случае используют, как правило, зависимость между напряжениями и скоростью деформации ( $\dot{\varepsilon}$ ) [2, 3]. При этом необходимо отметить, что сопротивление деформированию в этом случае зависит также и от степени деформации [3,4]:

$$\sigma = F(e, \dot{\varepsilon}) \quad (1)$$

В частности в работе [3] приведена модель материала, которая задана функцией

$$\sigma = Ke^n \dot{\varepsilon}^m \quad (2)$$

Построение подобных функций для вязкопластических моделей стандартными методами, например при испытаниях на одноосное растяжение (сжатие), трудоемко и материалозатратно. Поэтому в данной работе использован подход построения вязкопластической модели, реализованный в работе [1].

Целью работы является построение вязкопластической модели металлов для изотермических условий при испытаниях на изгиб.

Алгоритм построения вязкопластической модели состоит из следующих этапов:

1. Задание модели металла в виде функции с неизвестными линейными коэффициентами;
2. Получение системы линейных уравнений для определения неизвестных коэффициентов с использованием экспериментальных результатов;
3. Установление экспериментальной зависимости формы деформированной заготовки от величины момента нагружения при чистом изгибе, времени нагружения и температуры деформирования;
4. Решение системы уравнений для определения неизвестных коэффициентов в модели металла.

Для построения вязкопластических моделей материала была принята аналитическая зависимость, которая выражена степенной функцией вида (1). Для аппроксимации кривой деформирования используем иррациональный многочлен восьмой степени в виде:

$$\sigma_i = ae_i + be_i^{1/2} + ce_i^{1/4} + de_i^{1/8} + A\varepsilon_i + B\varepsilon_i^{1/2} + C\varepsilon_i^{1/4} + DC\varepsilon_i^{1/8}, \quad (3)$$

где  $\varepsilon_i$  - интенсивность скоростей деформации;  $e_i$  - интенсивность деформации.

Решение задачи определения кривых деформирования заключалось в теоретическом определении системы уравнений для нахождения коэффициентов аппроксимации кривой деформирования. Уравнения устанавливают связь между геометрическими параметрами заготовки при изгибе, свойствами материала при данной температуре, времени деформирования в зависимости от изгибающего момента.

Определяющие уравнения получены при определении момента внутренних сил относительно центра кривизны [5, 6]:

$$M = \int_{R_B}^{R_H} \sigma_t r dr \quad (4)$$

Для описания величины деформации и скорости деформации построена кинематическая модель чистого изгиба широкой заготовки из листового металла, которая учитывает параметр времени ( $t$ ).

Рассматриваем изгиб листовой заготовки. Анализ чистого пластического изгиба выполняем в цилиндрической системе координат (рис. 1). Считаем деформированное состояние плоское, напряженное состояние объемное.

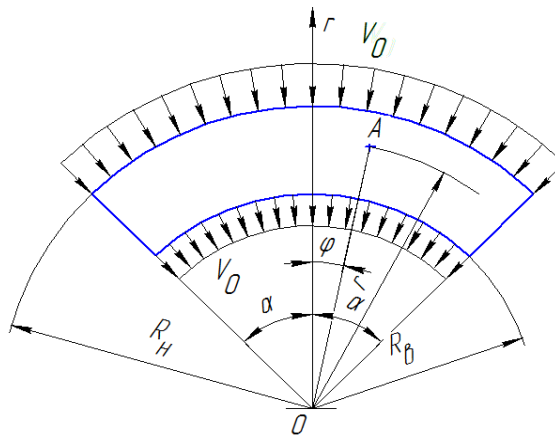


Рис. 1. Схема процесса чистого цилиндрического изгиба

Согласно принятому допущению, деформация в направлении ребра отсутствует, следовательно, скорость перемещения частиц металла в этом направлении принимаем равной нулю.

$$V_z = 0 \quad (5)$$

На основании гипотезы плоских сечений можно считать, что тангенциальная составляющая скорости перемещения частиц металла линейно зависит от радиальной координаты:

$$V_\varphi = Arf(\varphi) \quad (6)$$

Для чистого цилиндрического изгиба радиальная составляющая скорости не зависит от угловой координаты, является функцией только радиальной координаты. Поле скоростей при чистом цилиндрическом изгибе имеет вид:

$$\begin{aligned} V_r &= f(r) \\ V_\varphi &= Arf(\varphi) \\ V_z &= 0 \end{aligned} \quad (7)$$

где  $f(\varphi)$  – функция, характеризующая изменение тангенциальной составляющей скорости в зависимости от угловой координаты.

Согласно уравнению неразрывности имеем:

$$\frac{\partial}{\partial r}(rf(z)) = -A \frac{\partial}{\partial \varphi}(f(\varphi)) \quad (8)$$

Так как левая часть выражения (8) не зависит от угловой координаты, то и правая часть не должна зависеть от нее.

$$\frac{\partial}{\partial \varphi}(f(\varphi)) = B \quad (9)$$

Проинтегрировав выражение (9), получим:

$$f(\varphi) = B\varphi + C \quad (10)$$

Подставив (9) в (6) и приняв граничное условие  $V_\varphi = 0$  при  $\varphi = 0$ , получаем  $C = 0$ .

Таким образом, тангенциальная составляющая скорости при чистом цилиндрическом изгибе определяется выражением:

$$V_{\varphi} = A_1 \cdot r \cdot \varphi \quad (11)$$

где  $A_1 = A \cdot B$

Для определения радиальной составляющей скорости воспользуемся уравнением (8), которое с учетом (11) принимает вид:

$$\frac{\partial}{\partial r}(rf(z)) = -A_1 r \quad (12)$$

Проинтегрировав это выражение, получим:

$$f(r) = -\frac{A_1}{2} r + \frac{C_1}{r} \quad (13)$$

Таким образом, радиальная составляющая скорости при чистом изгибе определится выражением:

$$V_r = -\frac{C_1}{r} - \frac{A_1}{2} r \quad (14)$$

Так как при чистом изгибе отсутствует изменение толщины заготовок, то, следовательно, скорости перемещения наружной и внутренней поверхностей заготовки относительно координатной оси  $r$ , или, что одно и то же, скорости изменения наружного и внутреннего радиусов, будут одинаковы. На основании этого, для определения констант  $C_1$  и  $A_1$ , можем записать следующие граничные условия:

$$\begin{aligned} V_r &= -V_0 \text{ при } r = R_B \\ V_r &= -V_0 \text{ при } r = R_H \end{aligned} \quad (15)$$

где  $V_0$  – скорость изменения внутреннего и наружного радиусов изгибаемой заготовки.

Решив уравнение (14) при граничных условиях (15), получим

$$\begin{aligned} A_1 &= \frac{2V_0}{R_H + R_B} \\ C_1 &= -\frac{V_0 R_H R_B}{R_H + R_B} \end{aligned} \quad (16)$$

С учетом (11), (14) и (16), поле скоростей при чистом цилиндрическом изгибе принимает следующий вид:

$$\begin{aligned} V_r &= -\frac{V_0}{R_H + R_B} \left( r + \frac{R_H R_B}{r} \right) \\ V_{\varphi} &= 2 \frac{V_0}{R_H + R_B} r \varphi \\ V_z &= 0 \end{aligned} \quad (17)$$

где  $R_B \leq r \leq R_H, 0 \leq \varphi \leq \alpha$ ;  $R_H, R_B, \alpha$  – соответственно значения внутреннего и наружного радиусов изгибаемой заготовки и углагиба в данный момент времени.

Введя зависимость координат от времени в следующем виде:

$$\begin{aligned} (R_{B_0} - V_0 t) &\leq r \leq (R_{H_0} - V_0 t) \\ 0 &\leq \varphi \leq \alpha_0 \frac{R_{H_0} + R_{B_0}}{R_{H_0} + R_{B_0} - 2V_0 t} \end{aligned} \quad (18)$$

где  $R_{H_0}, R_{B_0}, \alpha_0$  – соответственно значения внутреннего и наружного радиусов изгибаемой заготовки и углагиба в начальный момент времени;

Получим поля скоростей следующие выражения:

$$\begin{aligned}
 V_r &= -\frac{V_0}{R_{H_0} + R_{B_0} - 2V_0t} \left[ r + \frac{(R_{H_0} - V_0t)(R_{B_0} - V_0t)}{r} \right] \\
 V_\varphi &= 2\frac{V_0}{R_{H_0} + R_{B_0} - 2V_0t} r\varphi \\
 V_z &= 0
 \end{aligned} \tag{19}$$

По известному полю скоростей определяем компоненты тензора скоростей деформации:

$$\begin{aligned}
 \varepsilon_{rr} = -\varepsilon_{\varphi\varphi} &= -\frac{V_0}{R_{H_0} + R_{B_0} - 2V_0t} \left[ 1 - \frac{(R_{H_0} - V_0t)(R_{B_0} - V_0t)}{r} \right] \\
 \varepsilon_{zz} &= 0 \\
 \varepsilon_{r\varphi} &= 0 \\
 \varepsilon_{\varphi z} &= 0 \\
 \varepsilon_{zr} &= 0
 \end{aligned} \tag{20}$$

Интенсивность скоростей деформации

$$\varepsilon_i = \frac{\sqrt{2}}{3} \sqrt{(\varepsilon_{rr} - \varepsilon_{\varphi\varphi})^2 + (\varepsilon_{\varphi\varphi} - \varepsilon_{zz})^2 + (\varepsilon_{zz} - \varepsilon_{rr})^2 + \frac{2}{3} (\varepsilon_{r\varphi}^2 + \varepsilon_{\varphi z}^2 + \varepsilon_{zr}^2)} \tag{21}$$

Подставим компоненты тензора скоростей деформации (20) в уравнение (21)

$$\varepsilon_i = \frac{2}{3} |\varepsilon_{\varphi\varphi}| \tag{22}$$

Учитывая, что для широкой полосы принято плоское деформированное состояние, можно записать:

$$e_{rr} = e_{\varphi\varphi}, e_{zz} = 0, e_{r\varphi} = 0 \tag{23}$$

где  $e_{rr}, e_{\varphi\varphi}, e_{zz}, e_{r\varphi}$  – компоненты тензора деформаций в цилиндрической системе координат.

Интенсивность деформаций:

$$e_i = \frac{\sqrt{2}}{3} \sqrt{(e_{rr} - e_{\varphi\varphi})^2 + e_{\varphi\varphi}^2 + e_{rr}^2} = \frac{2}{\sqrt{3}} |e_{\varphi\varphi}|. \tag{24}$$

Величину распределения тангенциальных деформаций, учитывая принятую гипотезу плоских сечений и монотонность процесса деформирования, можно представить, как:

$$e_{\varphi\varphi} = \ln \frac{r}{\rho}, \tag{25}$$

где  $\rho$  – радиус нейтральной поверхности, равный  $\rho = \sqrt{R_H \cdot R_B}$

При разложении логарифма в ряд с точностью до первого члена:

$$e_{\varphi\varphi} = \frac{r}{\rho} - 1. \tag{26}$$

Интенсивность напряжений  $\sigma_i$  связана с интенсивностью деформаций  $e_i$  функционально и описывается кривой деформирования – модель материала.

Учитывая уравнения (20), (21), (22), (26) аппроксимируемая кривая деформирования (3) имеет вид:

$$\begin{aligned}
\sigma_i = & a \frac{2}{\sqrt{3}} \left( \frac{r}{\rho} - 1 \right) + b \left( \frac{2}{\sqrt{3}} \left( \frac{r}{\rho} - 1 \right) \right)^{1/2} + c \left( \frac{2}{\sqrt{3}} \left( \frac{r}{\rho} - 1 \right) \right)^{1/4} + d \left( \frac{2}{\sqrt{3}} \left( \frac{r}{\rho} - 1 \right) \right)^{1/8} + \\
& + A \frac{2}{3} \frac{V_0}{R_{H_0} + R_{B_0} - 2V_0 t} \left[ 1 - \frac{(R_{H_0} - V_0 t)(R_{B_0} - V_0 t)}{r} \right] + \\
& + B \left( \frac{2}{3} \frac{V_0}{R_{H_0} + R_{B_0} - 2V_0 t} \left[ 1 - \frac{(R_{H_0} - V_0 t)(R_{B_0} - V_0 t)}{r} \right] \right)^{1/2} \\
& + C \left( \frac{2}{3} \frac{V_0}{R_{H_0} + R_{B_0} - 2V_0 t} \left[ 1 - \frac{(R_{H_0} - V_0 t)(R_{B_0} - V_0 t)}{r} \right] \right)^{1/4} + \\
& + D \left( \frac{2}{3} \frac{V_0}{R_{H_0} + R_{B_0} - 2V_0 t} \left[ 1 - \frac{(R_{H_0} - V_0 t)(R_{B_0} - V_0 t)}{r} \right] \right)^{1/8}
\end{aligned} \tag{27}$$

Момент внутренних сил относительно центра кривизны с учетом уравнения (27), имеет вид:

$$\begin{aligned}
M = & 2 \int_{\rho}^{R_H} \sigma(r - \rho) dr = 2 \int_{\rho}^{R_H} (ae + be^2 + ce^4 + de^8 + A\varepsilon + B\varepsilon^2 + C\varepsilon^4 + D\varepsilon^8)(r - \sqrt{(R_{H_0} - V_0 t)(R_{B_0} - V_0 t)}) dr = \\
= & 2 \left( \int_{\rho}^{R_H} a \frac{2}{\sqrt{3}} \left[ 1 - \frac{r}{\sqrt{(R_{H_0} - V_0 t)(R_{B_0} - V_0 t)}} \right] \cdot r dr - \int_{\rho}^{R_H} a \frac{2}{\sqrt{3}} \left[ 1 - \frac{r}{\sqrt{(R_{H_0} - V_0 t)(R_{B_0} - V_0 t)}} \right] \cdot \sqrt{(R_{H_0} - V_0 t)(R_{B_0} - V_0 t)} dr + \right. \\
& + \int_{\rho}^{R_H} b \cdot \sqrt{\frac{2}{3}} \left[ 1 - \frac{r}{\sqrt{(R_{H_0} - V_0 t)(R_{B_0} - V_0 t)}} \right]^{1/2} \cdot r dr - \int_{\rho}^{R_H} b \cdot \sqrt{\frac{2}{3}} \left[ 1 - \frac{r}{\sqrt{(R_{H_0} - V_0 t)(R_{B_0} - V_0 t)}} \right]^{1/2} \cdot \sqrt{(R_{H_0} - V_0 t)(R_{B_0} - V_0 t)} dr + \\
& + \int_{\rho}^{R_H} c \cdot 4 \sqrt{\frac{2}{3}} \left[ 1 - \frac{r}{\sqrt{(R_{H_0} - V_0 t)(R_{B_0} - V_0 t)}} \right]^{1/4} \cdot r dr - \int_{\rho}^{R_H} c \cdot 4 \sqrt{\frac{2}{3}} \left[ 1 - \frac{r}{\sqrt{(R_{H_0} - V_0 t)(R_{B_0} - V_0 t)}} \right]^{1/4} \cdot \sqrt{(R_{H_0} - V_0 t)(R_{B_0} - V_0 t)} dr + \\
& + \int_{\rho}^{R_H} d \cdot 8 \sqrt{\frac{2}{3}} \left[ 1 - \frac{r}{\sqrt{(R_{H_0} - V_0 t)(R_{B_0} - V_0 t)}} \right]^{1/8} \cdot r dr - \int_{\rho}^{R_H} d \cdot 8 \sqrt{\frac{2}{3}} \left[ 1 - \frac{r}{\sqrt{(R_{H_0} - V_0 t)(R_{B_0} - V_0 t)}} \right]^{1/8} \cdot \sqrt{(R_{H_0} - V_0 t)(R_{B_0} - V_0 t)} dr + \\
& + \int_{\rho}^{R_H} A \frac{2}{3} \frac{V_0}{R_{H_0} + R_{B_0} - 2V_0 t} \left[ 1 - \frac{(R_{H_0} - V_0 t)(R_{B_0} - V_0 t)}{r^2} \right] \cdot r dr - \int_{\rho}^{R_H} A \frac{2}{3} \frac{V_0}{R_{H_0} + R_{B_0} - 2V_0 t} \left[ 1 - \frac{(R_{H_0} - V_0 t)(R_{B_0} - V_0 t)}{r^2} \right] \times \\
& \times \sqrt{(R_{H_0} - V_0 t)(R_{B_0} - V_0 t)} dr + \int_{\rho}^{R_H} B \cdot \sqrt{\frac{2}{3} \frac{V_0}{R_{H_0} + R_{B_0} - 2V_0 t} \left[ 1 - \frac{(R_{H_0} - V_0 t)(R_{B_0} - V_0 t)}{r^2} \right]^2} \cdot r dr - \\
& - \int_{\rho}^{R_H} B \cdot \sqrt{\frac{2}{3} \frac{V_0}{R_{H_0} + R_{B_0} - 2V_0 t} \left[ 1 - \frac{(R_{H_0} - V_0 t)(R_{B_0} - V_0 t)}{r^2} \right]^2} \cdot \sqrt{(R_{H_0} - V_0 t)(R_{B_0} - V_0 t)} dr + \\
& + \int_{\rho}^{R_H} C \cdot 4 \sqrt{\frac{2}{3} \frac{V_0}{R_{H_0} + R_{B_0} - 2V_0 t} \left[ 1 - \frac{(R_{H_0} - V_0 t)(R_{B_0} - V_0 t)}{r^2} \right]^4} \cdot r dr - \\
& - \int_{\rho}^{R_H} C \cdot 4 \sqrt{\frac{2}{3} \frac{V_0}{R_{H_0} + R_{B_0} - 2V_0 t} \left[ 1 - \frac{(R_{H_0} - V_0 t)(R_{B_0} - V_0 t)}{r^2} \right]^4} \times \\
& \times \sqrt{(R_{H_0} - V_0 t)(R_{B_0} - V_0 t)} dr + \int_{\rho}^{R_H} D \cdot 8 \sqrt{\frac{2}{3} \frac{V_0}{R_{H_0} + R_{B_0} - 2V_0 t} \left[ 1 - \frac{(R_{H_0} - V_0 t)(R_{B_0} - V_0 t)}{r^2} \right]^8} \cdot r dr - \\
& - \int_{\rho}^{R_H} D \cdot 8 \sqrt{\frac{2}{3} \frac{V_0}{R_{H_0} + R_{B_0} - 2V_0 t} \left[ 1 - \frac{(R_{H_0} - V_0 t)(R_{B_0} - V_0 t)}{r^2} \right]^8} \cdot \sqrt{(R_{H_0} - V_0 t)(R_{B_0} - V_0 t)} dr
\end{aligned} \tag{28}$$

Расчетные величины для момента в уравнении (28) определяется экспериментально.

При исследовании процессов пластического изгиба деталей в горячем состоянии основной задачей является определение точной аналитической аппроксимации истинных диаграмм растяжения в пластической области.

Испытанию на изгиб подвергают образцы прямоугольного сечения из листовых металлов [7, 8].

Образцы устанавливаются на две опоры и нагружаются нагрузкой (рис. 2), которая сосредоточена на одинаковых расстояниях от опор двумя равными силами, создающими на определенном участке ( $L$ ) чистый изгиб. Величина изгибающего момента (рис. 2) равна:

$$M_{\max} = \frac{P \cdot k}{2} \quad (29)$$

Этот момент постоянен для всех сечений между точками приложения сил  $\frac{P}{2}$ . Чтобы избежать смятия в опорах, желательно увеличить поверхность контакта и уменьшить изгибающую силу, что достигается при достаточной величине  $L$ . При изгибе устраняется важный недостаток испытаний на растяжение – влияние перекосов.

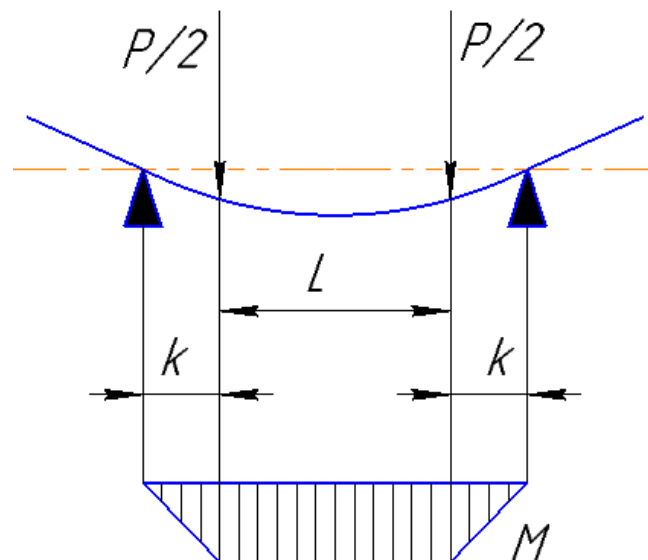


Рис. 2. Схема нагружения при испытании на изгиб

Экспериментально, при  $M = const$ , строят зависимость величины радиуса изгиба от времени. Полученные экспериментально значения подставляют в уравнение (28) и получают линейную систему из восьми уравнений для нахождения коэффициентов аппроксимации ( $a, b, c, d, A, B, C, D$ ).

## ВЫВОДЫ

Разработан метод построения вязкопластической модели металлов для изотермических условий при испытаниях на изгиб. Теоретически определена система уравнений для нахождения коэффициентов аппроксимации кривой деформирования.

## СПИСОК ИСПОЛЬЗОВАННОЙ ЛИТЕРАТУРЫ

1. Титов В.А. Метод экспериментально-аналитического построения кривых деформирования материалов при испытании на изгиб. Сообщение 1 / В.А. Титов, Т.Р. Гараненко // *Обработка материалов давлением : сборник научных трудов. – Краматорск : ДГМА, 2015. – №2 (41). – С. 74–81.*

2. *Сверхпластичность металлических материалов / М.Х. Шоршоров, А.С. Тихонов [и др.] – М.: Наука, 1973. – 219 с.*
3. *Евстратов В.А. Теория обработки металлов давлением / В.А. Евстратов. – Харьков: Высшая школа, 1981. – 248 с.*
4. *Кайбышев О.А. Пластичность и сверхпластичность металлов / О.А. Кайбышев. – М.: Metallurgija, 1975. – 280 с.*
5. *Малинин Н.Н. Прикладная теория пластичности и ползучести / Н.Н. Малинин. – М.: Машиностроение, 1975. – 400 с.*
6. *Лысов М.Н. Теория и расчет процессов изготовления деталей методами гибки / М.Н. Лысов. – М.: Машиностроение, 1966. – 236 с.*
7. *Глинер Б.М. Определение механических и технологических свойств металлов / Б.М. Глинер. – М.: Mashgiz, 1959. – 160 с.*
8. *Бернштейн М.Л. Механические свойства металлов / Бернштейн М.Л. – М.: Metallurgija, 1979. – 496 с.*

## REFERENCES

1. *Titov V.A. Metod jeksperimental'no-analiticheskogo postroenija krivyh deformirovanija materijalov pri ispytanii na izgib. Soobshhenie 1 / V.A. Titov, T.R. Garanenko // Obrabotka materialov davleniem : sbornik nauchnyh trudov. – Kramatorsk :DGMA, 2015. – №2 (41). – S. 74–81.*
2. *Sverhplastichnost' metallicheskih materialov / M.H. Shorshorov, A.S. Tihonov [i dr.] – M.: Nauka, 1973. – 219 s.*
3. *Evstratov V.A. Teorija obrabotki metallov davleniem / V.A. Evstratov. – Har'kov: Vysshaja shkola, 1981. – 248 s.*
4. *Kajbyshev O.A. Plastichnost' i sverhplastichnost' metallov / O.A. Kajbyshev. – M.: Metallurgija, 1975. – 280 s.*
5. *Malinin N.N. Prikladnaja teorija plastichnosti i polzuchesti / N.N. Malinin. – M.: Mashinostroenie, 1975. – 400 s.*
6. *Lysov M.N. Teorija i raschet processov izgotovlenija detalej metodami gibki / M.N. Lysov. – M.: Mashinostroenie, 1966. – 236 s.*
7. *Gliner B.M. Opredelenie mehanicheskikh i tehnologicheskikh svojstv metallov / B.M. Gliner. – M.: Mashgiz, 1959. – 160 s.*
8. *Bernshtejn M.L. Mehanicheskie svojstva metallov / Bernshtejn M.L. – M.: Metallurgija, 1979. – 496 s.*

Титов В. А. – д-р техн. наук, проф. НТУУ «КПИ»

Гараненко Т. Р. – ассист. НТУУ «КПИ»

НТУУ «КПИ» – Национальный технический университет Украины «Киевский политехнический институт», г. Киев.

E-mail: [tetiana.garanenko@gmail.com](mailto:tetiana.garanenko@gmail.com)

Статья поступила в редакцию 10.03.2016 г.